

## Лекция № 4.1 (часть 1)

# Интерференция волн.

### План

1. Основные законы оптики
2. Фотометрия
3. Развитие представлений о природе света
4. Когерентность волн
5. Интерференция света
6. Методы наблюдения интерференции света
7. Расчет интерференционной картины от двух источников
8. Интерференция света в тонких пленках
9. Применение интерференции света.

### 1. Основные законы оптики.

Еще до установления природы света были известны следующие основные законы оптики: закон прямолинейного распространения света в оптически однородной среде; закон независимости световых пучков (справедлив только в линейной оптике); закон отражения света; закон преломления света.

#### Закон прямолинейного распространения света

*Свет в оптически однородной среде распространяется прямолинейно*

Доказательством этого закона является наличие тени с резкими границами от непрозрачных предметов при освещении их точечными источниками света (источники, размеры которых значительно меньше освещаемого предмета и расстояния до него). Тщательные эксперименты показали, однако, что этот закон нарушается, если свет проходит сквозь очень малые отверстия, причем отклонение от прямолинейности распространения тем больше, чем меньше отверстия.

#### Закон независимости световых пучков

*Эффект, производимый отдельным пучком, не зависит от того, действуют ли одновременно остальные пучки или они устранены.*

Разбивая световой поток на отдельные световые пучки (например, с помощью диафрагм), можно показать, что действие выделенных световых пучков независимо.

Если свет падает на границу раздела двух сред (двух прозрачных веществ), то падающий луч *I* (рис.1) разделяется на два — *отраженный II* и *преломленный III*, направления которых задаются законами отражения и преломления.

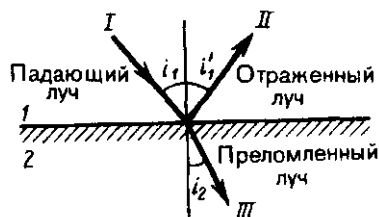


Рис. 1

#### Закон отражения

*Отраженный луч лежит в одной плоскости с падающим лучом и перпендикуляром, проведенным к границе раздела двух сред в точке падения; угол  $i'_1$  отражения равен углу  $i_1$  падения*

$$i'_1 = i_1$$

**Закон преломления:** луч падающий, луч преломленный и перпендикуляр, проведенный к границе раздела в точке падения, лежат в одной плоскости; отношение синуса угла падения к синусу угла преломления есть величина постоянная для данных сред:

$$\frac{\sin i_1}{\sin i_2} = n_{21} \quad (1)$$

где  $n_{21}$  — **относительный показатель преломления** второй среды относительно первой. Индексы в обозначениях углов  $i_1, i_1', i_2$  указывают, в какой среде (первой или второй) идет луч.

Относительный показатель преломления двух сред равен отношению их абсолютных показателей преломления:

$$n_{21} = \frac{n_2}{n_1} \quad (2)$$

**Абсолютным показателем преломления** среды называется величина  $n$ , равная отношению скорости  $c$  электромагнитных волн в вакууме к их фазовой скорости  $v$  в среде:

$$n = \frac{c}{v} \quad (3)$$

Абсолютным показателем преломления среды показывает во сколько раз скорость света в вакууме больше скорости света в среде.

Сравнение с формулой  $v = \frac{c}{\sqrt{\epsilon\mu}}$  дает, что  $n = \sqrt{\epsilon\mu}$ , где  $\epsilon$  и  $\mu$  — соответственно электрическая

и магнитная проницаемости среды. Учитывая (2), закон преломления (1) можно записать в виде

$$n_1 \sin i_1 = n_2 \sin i_2 \quad (4)$$

Из симметрии выражения (4) вытекает обратимость световых лучей. Если обратить луч  $III$  (рис.1), заставив его падать на границу раздела под углом  $i_2$ , то преломленный луч в первой среде будет распространяться под углом  $i_1$ , т. е. пойдет в обратном направлении вдоль луча  $I$ .

Если свет распространяется из среды с большим показателем преломления  $n_1$  (оптически более плотной) в среду с меньшим показателем преломления  $n_2$  (оптически менее плотную) ( $n_1 > n_2$ ), например из стекла в воду, то, согласно (4),

$$\frac{\sin i_1}{\sin i_2} = \frac{n_2}{n_1} > 1$$

Отсюда следует, что преломленный луч удаляется от нормали и угол преломления  $i_2$  больше, чем угол падения  $i_1$  (рис. 2, а). С увеличением угла падения увеличивается угол преломления (рис. 2, б, в) до тех пор, пока при некотором угле падения ( $i_1 = i_{np}$ ) угол преломления не окажется

равным  $\frac{\pi}{2}$ .

Угол  $i_{np}$  называется **предельным углом**. При углах падения  $i_1 > i_{np}$  весь падающий свет полностью отражается (рис. 2, г).

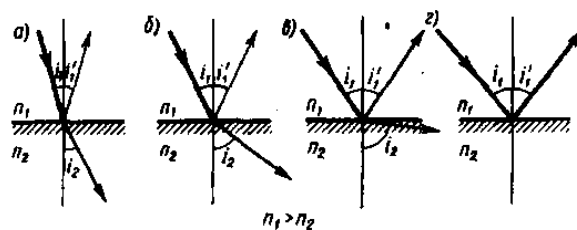


Рис. 2

По мере приближения угла падения к предельному интенсивность преломленного луча уменьшается, а отраженного — растет (рис. 2, а—в). Если  $i_1 = i_{np}$ , то интенсивность преломленного луча обращается в нуль, а интенсивность отраженного равна интенсивности падающего (рис. 2, г).

Таким образом, при углах падения в пределах от  $i_{np}$  до  $\frac{\pi}{2}$  луч не преломляется, а полностью отражается в первую среду, причем интенсивности отраженного и падающего лучей одинаковы. Это явление называется **полным отражением**.

Предельный угол  $i_{np}$  определим из формулы (4) при подстановке в нее  $i_{np} = \frac{\pi}{2}$ .

$$\sin i_{np} = \frac{n_2}{n_1} = n_{21} \quad (5)$$

Уравнение (5) удовлетворяет значениям угла  $i_{np}$  при  $n_2 \leq n_1$ . Следовательно, явление полного отражения имеет место только при падении света из среды оптически более плотной в среду оптически менее плотную.

Явление полного отражения используется в призмах полного отражения. Показатель преломления стекла равен  $n \approx 1,5$ , поэтому предельный угол для границы стекло — воздух равен  $i_{np} = \arcsin(1/1,5) = 42^\circ$ . Поэтому при падении света на границу стекло—воздух при  $i > 42^\circ$  всегда будет иметь место полное отражение. На рис. 3, а—в показаны призмы полного отражения, позволяющие: а) повернуть луч на  $90^\circ$ ; б) повернуть изображение; в) обернуть лучи.

Такие призмы применяются в оптических приборах (например, в биноклях, перископах), а также в рефрактометрах, позволяющих определять показатели преломления тел (по закону преломления, измеряя  $i_{np}$ , находим относительный показатель преломления двух сред, а также абсолютный показатель преломления одной из сред, если показатель преломления другой среды известен).

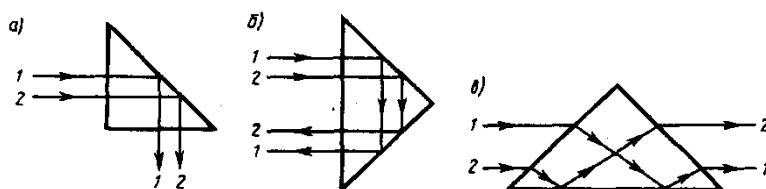


Рис.3

## 2. Фотометрия.

**Фотометрия** — раздел оптики, занимающийся вопросами измерения интенсивности света и его источников. В фотометрии используются следующие величины:

- 1) **энергетические** — характеризуют энергетические параметры оптического излучения безотносительно к его действию на приемники излучения;

- 2) **световые** — характеризуют *физиологические* действия света и оцениваются по воздействию на глаз (исходят из так называемой средней чувствительности глаза) или другие приемники излучения.

#### Энергетические величины.

**Поток излучения  $\Phi_e$**  — величина, равная отношению энергии  $W$  излучения ко времени  $t$ , за которое излучение произошло:

$$\Phi_e = \frac{W}{t}$$

Единица потока излучения — **Ватт (Вт)**.

**Энергетическая светимость (излучательность)  $R_e$**  — величина, равная отношению потока излучения  $\Phi_e$ , испускаемого поверхностью, к площади  $S$  сечения, сквозь которое этот поток проходит:

$$R_e = \frac{\Phi_e}{S}$$

т. е. представляет собой поверхностную плотность потока излучения.

Единица энергетической светимости — **Ватт на метр в квадрате (Вт/м<sup>2</sup>)**.

**Энергетическая сила света (сила излучения)  $I_e$**  определяется с помощью понятия о точечном источнике света — источнике, размерами которого по сравнению с расстоянием до места наблюдения можно пренебречь.

Энергетическая сила света  $I_e$  — величина, равная отношению потока излучения  $\Phi_e$  источника к телесному углу  $\omega$ , в пределах которого это излучение распространяется:

$$I_e = \frac{\Phi_e}{\omega}$$

Единица энергетической силы света — **Ватт на стерадиан (Вт/ср)**.

**Энергетическая яркость (лучистость)  $B_e$**  — величина, равная отношению энергетической силы света  $\Delta I_e$ , элемента излучающей поверхности к площади  $\Delta S$  проекции этого элемента на плоскость, перпендикулярную направлению наблюдения:

$$B_e = \frac{\Delta I_e}{\Delta S}$$

Единица энергетической яркости — **Ватт на стерадиан-метр в квадрате (Вт/(ср · м<sup>2</sup>))**.

**Энергетическая освещенность (облученность)  $E_e$**  характеризует величину потока излучения, падающего на единицу освещаемой поверхности. Единица энергетической освещенности совпадает с единицей энергетической светимости (Вт/м<sup>2</sup>).

#### Световые величины.

При оптических измерениях используются различные приемники излучения (например, глаз, фотоэлементы, фотоумножители), которые не обладают одинаковой чувствительностью к энергии различных длин волн, являясь, таким образом, **селективными(избирательными)**.

Каждый приемник излучения характеризуется своей кривой чувствительности к свету различных длин волн. Поэтому световые измерения, являясь субъективными, отличаются от объективных, энергетических и для них вводятся световые единицы, используемые только для видимого света.

*Основной световой единицей* в СИ является единица силы света

**Кандела** (кд) — сила света в заданном направлении источника, испускающего монохроматическое излучение частотой  $540 \cdot 10^{12}$  Гц, энергетическая сила света которого в этом направлении составляет  $1/683$  Вт/ср.

Определение световых единиц аналогично энергетическим.

**Световой поток**  $\Phi$  определяется как мощность оптического излучения по вызываемому им световому ощущению (по его действию на селективный приемник света с заданной спектральной чувствительностью).

Единица светового потока — **люмен** (лм):

**1 лм** — световой поток, испускаемый точечным источником силой света в 1 кд внутри телесного угла в 1 ср (при равномерности поля излучения внутри телесного угла) ( $1 \text{ лм} = 1 \text{ кд} \cdot \text{ср}$ ).

**Светимость**  $R$  определяется соотношением

$$R = \frac{\Phi}{S}$$

Единица светимости — **люмен на метр в квадрате** ( $\text{лм}/\text{м}^2$ ).

**Яркость**  $B_\varphi$  светящейся поверхности в некотором направлении  $\varphi$  есть величина, равная отношению силы света  $I$  в этом направлении к площади  $S$  проекции светящейся поверхности на плоскость, перпендикулярную данному направлению:

$$B_\varphi = \frac{I}{S \cos \varphi}$$

Единица яркости — **кандела на метр в квадрате** ( $\text{кд}/\text{м}^2$ ).

**Освещенность**  $E$  — величина, равная отношению светового потока  $\Phi$ , падающего на поверхность, к площади  $S$  этой поверхности:

$$E = \frac{\Phi}{S}$$

Единица освещенности — **люкс** (лк): 1 лк — освещенность поверхности, на  $1 \text{ м}^2$  которой падает световой поток в 1 лм ( $1 \text{ лк} = 1 \text{ лм}/\text{м}^2$ ).

### 3. Развитие представлений о природе света.

Основные законы оптики известны еще с древних веков. Так, Платон (430 г. до н. э.) установил закон прямолинейного распространения и закон отражения света. Аристотель (350 г. до н. э.) и Птолемей изучали преломление света. Первые представления о природе света возникли у древних греков и египтян, которые в дальнейшем, по мере изобретения и усовершенствования различных оптических инструментов, например параболических зеркал (XIII в.), фотоаппарата и микроскопа (XVI в.), зрительной трубы (XVII в.), развивались и трансформировались. В конце XVII в. на основе многовекового опыта и развития представлений о свете возникли **две теории** света: **корпускулярная** (И. Ньютон) и **волновая** (Р. Гук и Х.Гюйгенс).

Согласно корпускулярной теории (теории истечения), свет представляет собой поток частиц (корпускул), испускаемых светящимися телами и летящих по прямолинейным траекториям. Движение световых корпускул Ньютон подчинил сформулированным им законам механики. Так, отражение света понималось аналогично отражению упругого шарика при ударе о плоскость, где также соблюдается закон равенства углов падения в отражения. Преломление света Ньютон объяснял притяжением корпускул преломляющей средой, в результате чего

скорость корпускул меняется при переходе из одной среды в другую. Из теории Ньютона следовало постоянство синуса угла падения  $i_1$  к синусу угла преломления  $i_2$ :

$$\frac{\sin i_1}{\sin i_2} = \frac{v}{c} = n \quad (6)$$

где  $c$  — скорость распространения света в вакууме,  
 $v$  — скорость распространения света в среде.

Так как  $n$  в среде всегда больше единицы, то, по теории Ньютона,  $v > c$ , т. е. скорость распространения света в среде должна быть всегда больше скорости его распространения в вакууме.

Согласно волновой теории, развитой на основе аналогии оптических и акустических явлений, свет представляет собой упругую волну, распространяющуюся в особой среде — эфире. Эфир заполняет все мировое пространство, пронизывает все тела и обладает механическими свойствами — упругостью и плотностью. Согласно Гюйгенсу, большая скорость распространения света обусловлена особыми свойствами эфира.

Волновая теория основывается на **принципе Гюйгенса**:

*Каждая точка, до которой доходит волна, служит центром вторичных волн, а огибающая этих волн дает положение волнового фронта в следующий момент времени.*

Напомним, что волновым фронтом называется геометрическое место точек, до которых доходят колебания к моменту времени  $t$ . Принцип Гюйгенса позволяет анализировать распространение света и вывести законы отражения и преломления.

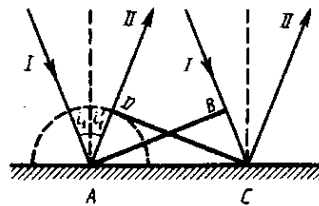


Рис. 4

Выведем законы отражения и преломления света, исходя из принципа Гюйгенса. Пусть на границу раздела двух сред падает плоская волна (фронт волны — плоскость  $AB$ ), распространяющаяся вдоль направления  $I$  (рис. 4). Когда фронт волны достигнет отражающей поверхности в точке  $A$ , эта точка начнет излучать вторичную волну. Для прохождения волной расстояния  $BC$  требуется время  $\Delta t = BC/v$ . За это же время фронт вторичной волны достигнет точек полусферы, радиус  $AD$  которой равен  $v\Delta t = BC$ . Положение фронта отраженной волны в этот момент времени в соответствии с принципом Гюйгенса задается плоскостью  $DC$ , а направление распространения этой волны — лучом  $II$ . Из равенства треугольников  $ABC$  и  $ADC$  вытекает закон отражения: угол отражения  $i'_1$ , равен углу падения  $i_1$ .

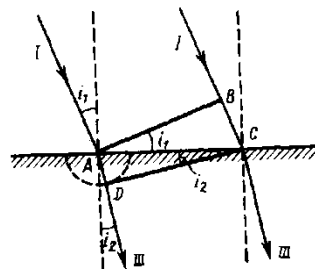


Рис.5

Для вывода закона преломления предположим, что плоская волна (фронт волны — плоскость  $AB$ ), распространяющаяся в вакууме вдоль направления  $I$  со скоростью света  $c$ , падает на границу раздела со средой, в которой скорость ее распространения равна  $v$  (рис. 5).

Пусть время прохождения волной пути  $BC$  равно  $\Delta t$ . Тогда  $BC=c\Delta t$ . За это же время фронт волны, возбуждаемый точкой  $A$  в среде со скоростью  $v$ , достигнет точек полусферы, радиус которой  $AD=v\Delta t$ . Положение фронта преломленной волны в этот момент времени в соответствии с принципом Гюйгенса задается плоскостью  $DC$ , а направление ее распространения — лучом  $III$ . Из рис. 5 следует, что

$$AC = \frac{BC}{\sin i_1} = \frac{AD}{\sin i_2}, \text{ т. е. } \frac{c\Delta t}{\sin i_1} = \frac{v\Delta t}{\sin i_2}, \text{ откуда}$$

$$\frac{\sin i_1}{\sin i_2} = \frac{c}{v} = n \quad (7)$$

Сравнивая выражения (8) и (7), видим, что волновая теория приводит к выводу, отличному от вывода теории Ньютона. По *теории Гюйгенса*,  $v < c$ , т. е. скорость распространения света в среде должна быть всегда меньше скорости его распространения в вакууме.

Таким образом, к началу XVIII в. существовало два противоположных подхода к объяснению природы света: корпускулярная теория Ньютона и волновая теория Гюйгенса. Обе эти теории объясняли прямолинейное распространение света, законы отражения и преломления. XVIII век стал веком борьбы этих теорий. Экспериментальное доказательство справедливости волновой теории было получено в 1851 г., когда Э. Фуко (и независимо от него А. Физо) измерил скорость распространения света в воде и получил значение, соответствующее формуле (7). К началу XIX столетия корпускулярная теория была полностью отвергнута и восторжествовала волновая теория. Большая заслуга в этом отношении принадлежит английскому физика Т. Юнгу, исследовавшему явления дифракции и интерференции, и французскому физика О. Френелю (1788—1827), дополнившему принцип Гюйгенса и объяснившему эти явления.

Несмотря на признание волновой теории, она обладала целым рядом недостатков. Например, явления интерференции, дифракции и поляризации могли быть объяснены только в том случае, если световые волны считать поперечными. С другой стороны, если световые волны — поперечные, то их носитель — эфир — должен обладать свойствами твердых тел. Попытка же наделять эфир свойствами твердого тела успеха не имела, так как эфир не оказывает заметного воздействия на движущиеся в нем тела. Далее эксперименты показали, что скорость распространения света в разных средах различна, поэтому эфир должен обладать в разных средах различными свойствами. Теория Гюйгенса не могла объяснить также физической природы наличия разных цветов.

Наука о свете накапливала экспериментальные данные, свидетельствующие о взаимосвязи световых, электрических и магнитных явлений, что позволило Максвеллу в 70-х годах прошлого столетия создать электромагнитную теорию света. Согласно электромагнитной теории Максвелла,

$$\frac{c}{v} = \sqrt{\varepsilon\mu} = n$$

где  $c$  и  $v$  — соответственно скорости распространения света в вакууме и в среде с диэлектрической проницаемостью  $\varepsilon$  и магнитной проницаемостью  $\mu$ .

Это соотношение связывает оптические, электрические и магнитные постоянные вещества. По Максвеллу,  $\varepsilon$  и  $\mu$  — величины, не зависящие от длины волны света, поэтому электромагнитная теория не могла объяснить явление дисперсии (зависимость показателя преломления от длины волны).

Эта трудность была преодолена в конце XIXв. Лоренцем, предложившим **электронную теорию**, согласно которой диэлектрическая проницаемость  $\varepsilon$  зависит от длины волны падающего света. Теория Лоренца ввела представление об электронах, колеблющихся внутри атома, и позволила объяснить явления испускания и поглощения света веществом.

Несмотря на огромные успехи электромагнитной теории Максвелла и электронной теории Лоренца, они были несколько противоречивы и при их применении встречался ряд затруднений. Обе теории основывались на гипотезе об эфире, только «упругий эфир» был заменен «эфиром электромагнитным» (теория Максвелла) или «неподвижным эфиром» (теория Лоренца).

Теория Максвелла не смогла объяснить процессов испускания и поглощения света, фотоэлектрического эффекта, комптоновского рассеяния и т. д.

Теория Лоренца, в свою очередь, не смогла объяснить многие явления, связанные с взаимодействием света с веществом, в частности вопрос о распределении энергии по длинам волн при тепловом излучении черного тела.

Перечисленные затруднения и противоречия были преодолены благодаря смелой гипотезе (1900) немецкого физика М. Планка (1858—1947), согласно которой излучение и поглощение света происходит не непрерывно, а дискретно, т. е. **определенными порциями (квантами)**, энергия которых определяется частотой  $\nu$ :

$$\varepsilon_0 = h\nu \quad (8)$$

где  $h$  — постоянная Планка.

Теория Планка не нуждалась в понятии об эфире. Она объяснила тепловое излучение черного тела. Эйнштейн в 1905 г. создал **квантовую теорию света**, согласно которой не только *излучение* света, но и его *распространение* происходит в виде **потока световых квантов — фотонов**, энергия которых определяется соотношением (8), а масса

$$m_\phi = \frac{\varepsilon_0}{c^2} = \frac{h\nu}{c^2} = \frac{h}{\lambda c} \quad (9)$$

Квантовые представления о свете хорошо согласуются с законами излучения и поглощения света, законами взаимодействия света с веществом. Однако как с помощью этих представлений объяснить такие хорошо изученные явления, как интерференция, дифракция и поляризация света?

Эти явления легко объясняются на основе волновых представлений. Все многообразие изученных свойств и законов распространения света, его взаимодействия с веществом показывает, что свет имеет сложную природу. Он представляет собой **единство противоположных видов движения — корпускулярного (квантового) и волнового (электромагнитного)**.

Длительный путь развития привел к современным представлениям о **двойственной корпускулярно-волновой природе света**. Выражения (8) и (9) связывают корпускулярные характеристики излучения — массу и энергию кванта — с волновыми — частотой колебаний и длиной волны.

Таким образом, *свет представляет собой единство дискретности и непрерывности*.



#### 4. Когерентность волн.

Интерференцию света можно объяснить, рассматривая интерференцию волн.

**Интерференция волн** – сложение в пространстве 2-х или более когерентных волн, при котором в разных точках пространства наблюдается усиление или ослабление результирующей волны.

Необходимым условием интерференции волн является их **когерентность**, т. е. согласованное протекание во времени и пространстве нескольких колебательных или волновых процессов.

**Когерентные волны** – волны, одинаковой частоты, разность фаз которых постоянна.

Этому условию удовлетворяют **монохроматические волны** — неограниченные в пространстве волны одной определенной и строго постоянной частоты.

Так как ни один реальный источник не дает строго монохроматического света, то *волны, излучаемые любыми независимыми источниками света, всегда некогерентны*. Поэтому на опыте не наблюдается интерференция света от независимых источников, например от двух электрических лампочек.

Понять физическую причину немонохроматичности, а, следовательно, и некогерентности волн, испускаемых двумя независимыми источниками света, можно исходя из самого механизма испускания света атомами.

В двух самостоятельных источниках света атомы излучают независимо друг от друга. В каждом из таких атомов процесс излучения конечен и длится очень короткое время ( $\tau \approx 10^{-8}$  с). За это время возбужденный атом возвращается в нормальное состояние и излучение им света прекращается. Возбуждись вновь, атом снова начинает испускать световые волны, но уже с новой начальной фазой. Так как разность фаз между излучением двух таких независимых атомов изменяется при каждом новом акте испускания, то волны, спонтанно излучаемые атомами любого источника света, некогерентны.

Таким образом, волны, испускаемые атомами, лишь в течение интервала времени  $10^{-8}$  с имеют приблизительно постоянные амплитуду и фазу колебаний, тогда как за больший промежуток времени и амплитуда, и фаза изменяются. Прерывистое излучение света атомами в виде отдельных коротких импульсов называется **волновым цугом**.

Описанная модель испускания света справедлива и для любого макроскопического источника, так как атомы светящегося тела излучают свет также *независимо* друг от друга. Это означает, что начальные фазы соответствующих им волновых цугов не связаны между собой. Помимо этого, даже для одного и того же атома начальные фазы разных цугов отличаются для двух последующих актов излучения. Следовательно, свет, испускаемый макроскопическим источником, некогерентен.

Любой немонохроматический свет можно представить в виде совокупности сменяющих друг друга независимых гармонических цугов.

Средняя продолжительность одного цуга  $\tau_{\text{коз}}$  называется **временем когерентности**.

Когерентность существует только в пределах одного цуга, и время когерентности не может превышать время излучения, т. е.  $\tau_{\text{коз}} < \tau$ . Прибор обнаружит четкую интерференционную картину лишь тогда, когда время разрешения прибора значительно меньше времени когерентности накладываемых световых волн.

Если волна распространяется в однородной среде, то фаза колебаний в определенной точке пространства сохраняется только в течение времени когерентности  $\tau_{\text{коз}}$ . За это время волна распространяется в вакууме на расстояние  $l_{\text{коз}} = c\tau_{\text{коз}}$ , называемое **длиной когерентности** (или **длиной цуга**).

Таким образом, длина когерентности есть расстояние, при прохождении которого две или несколько волн утрачивают когерентность. Отсюда следует, что наблюдение интерференции света возможно лишь при оптических разностях хода, меньших длины когерентности для используемого источника света.

Чем ближе волна к монохроматической, тем меньше ширина  $\Delta\omega$  спектра ее частот и, как можно показать, больше ее время когерентности  $\tau_{\text{ког}}$ , а, следовательно, и длина когерентности  $l_{\text{ког}}$ .

Когерентность колебаний, которые совершаются в одной и той же точке пространства, определяемая степенью монохроматичности волн, называется **временной когерентностью**.

Наряду с временной когерентностью для описания когерентных свойств волн в плоскости, перпендикулярной направлению их распространения, вводится понятие **пространственной когерентности**.

Два источника, размеры и взаимное расположение которых позволяют (при необходимой степени монохроматичности света) наблюдать интерференцию, называются **пространственно-когерентными**.

**Радиусом когерентности** (или **длиной пространственной когерентности**) называется максимальное поперечное направлению распространения волны расстояние, на котором возможно проявление интерференции.

Таким образом, пространственная когерентность определяется радиусом когерентности.

$$r_{\text{ког}} \approx \frac{\lambda}{\varphi}$$

где  $\lambda$  — длина волны света,  
 $\varphi$  — угловой размер источника.

Так, минимально возможный радиус когерентности для солнечных лучей (при угловом размере Солнца на Земле  $\varphi \approx 10^{-2}$  рад и  $\lambda \approx 0,5$  мкм) составляет  $\approx 0,05$  мм. При таком малом радиусе когерентности невозможно непосредственно наблюдать интерференцию солнечных лучей, поскольку разрешающая способность человеческого глаза на расстоянии наилучшего зрения составляет лишь 0,1 мм.

Отметим, что первое наблюдение интерференции провел в 1802 г. Т. Юнг именно с солнечным светом, для чего он предварительно пропускал солнечные лучи через очень малое отверстие в непрозрачном экране (при этом на несколько порядков уменьшался угловой размер источника света и тем самым резко увеличивался радиус когерентности (или длина пространственной когерентности)).

## 5. Интерференция света.

Предположим, что две монохроматические световые волны, накладываясь друг на друга, возбуждают в определенной точке пространства колебания одинакового направления:  $x_1 = A_1 \cos(\omega t + \varphi_1)$  и  $x_2 = A_2 \cos(\omega t + \varphi_2)$ .

Под  $x$  понимают напряженность электрического  $E$  или магнитного  $H$  полей волны; векторы  $E$  и  $H$  колеблются во взаимно перпендикулярных плоскостях.

Напряженности электрического и магнитного полей подчиняются принципу суперпозиции.

Амплитуда результирующего колебания в данной точке

$$A^2 = A_1^2 + A_2^2 + 2A_1A_2 \cos(\varphi_2 - \varphi_1)$$

Так как волны когерентны, то  $\cos(\varphi_2 - \varphi_1)$  имеет постоянное во времени (но свое для каждой точки пространства) значение,

поэтому интенсивность результирующей волны ( $I \sim A^2$ )

$$I = I_1 + I_2 + 2\sqrt{I_1 I_2} \cos(\varphi_2 - \varphi_1) \quad (10)$$

В точках пространства,

где  $\cos(\varphi_2 - \varphi_1) > 0$ , интенсивность  $I > I_1 + I_2$

где  $\cos(\varphi_2 - \varphi_1) < 0$ , интенсивность  $I < I_1 + I_2$

Следовательно, при наложении двух (или нескольких) когерентных световых волн происходит пространственное перераспределение светового потока, в результате чего в одних местах возникают максимумы, а в других — минимумы интенсивности. Это явление называется интерференцией света.

Для некогерентных волн разность  $\varphi_2 - \varphi_1$  непрерывно изменяется, поэтому среднее во времени значение  $\cos(\varphi_2 - \varphi_1)$  равно нулю, и интенсивность результирующей волны всюду одинакова и при  $I_1 = I_2$  равна  $2I_1$  (для когерентных волн при данном условии в максимумах  $I = 4I_1$ , в минимумах  $I = 0$ ).

Как можно создать условия, необходимые для возникновения интерференции световых волн?

Для получения когерентных световых волн применяют **метод разделения волны**, излучаемой одним источником, на две части, которые после прохождения разных *оптических путей* накладываются друг на друга, и наблюдается интерференционная картина.

Пусть разделение на две когерентные волны происходит в определенной точке  $O$ . До точки  $M$ , в которой наблюдается интерференционная картина, одна волна в среде с показателем преломления  $n_1$  прошла путь  $s_1$ , вторая — в среде с показателем преломления  $n_2$  — путь  $s_2$ .

Если в точке  $O$  фаза колебаний равна  $\omega t$ , то в точке  $M$  первая волна возбудит колебание  $A_1 \cos(t - \frac{s_1}{v_1})$ , вторая волна — колебание  $A_2 \cos(t - \frac{s_2}{v_2})$ , где  $v_1 = \frac{c}{n_1}$ ,  $v_2 = \frac{c}{n_2}$  — соответственно фазовая скорость первой и второй волны.

Разность фаз колебаний, возбуждаемых волнами в точке  $M$ , равна

$$\delta = \omega \left( \frac{s_2}{v_2} - \frac{s_1}{v_1} \right) = \frac{2\pi}{\lambda_0} (s_2 n_2 - s_1 n_1) = \frac{2\pi}{\lambda_0} (L_2 - L_1) = \frac{2\pi}{\lambda_0} \Delta$$

(учли, что  $\frac{\omega}{c} = \frac{2\pi\nu}{c} = \frac{2\pi}{\lambda_0}$ , где  $\lambda_0$  — длина волны в вакууме).

Произведение геометрической длины  $s$  пути световой волны в данной среде на показатель  $n$  преломления этой среды называется **оптической длиной пути  $L$** , а  $\Delta = L_2 - L_1$  — разность оптических длин проходимых волнами путей — называется **оптической разностью хода**.

Если оптическая разность хода равна целому числу длин волн в вакууме

$$\Delta = \pm m \lambda_0, \quad m = 0, 1, 2, \dots \quad (11)$$

То  $\delta = \pm 2m\pi$ , и колебания, возбуждаемые в точке  $M$  обеими волнами, будут происходить в одинаковой фазе.

Следовательно, (11) является **условием интерференционного максимума**.

Если оптическая разность хода

$$\Delta = \pm (2m + 1) \frac{\lambda_0}{2}, \quad m = 0, 1, 2, \dots \quad (12)$$

то  $\delta = \pm (2m + 1)\pi$  и колебания, возбуждаемые в точке  $M$  обеими волнами, будут происходить в противофазе.

Следовательно, (12) является **условием интерференционного минимума**.

## 6. Методы наблюдения интерференции света.

Для осуществления интерференции света необходимо получить когерентные световые пучки, для чего применяются различные приемы. До появления лазеров во всех приборах для наблюдения интерференции света когерентные пучки получали разделением и последующим сведением световых лучей, исходящих из одного и того же источника. Практически это можно осуществить с помощью экранов и щелей, зеркал и преломляющих тел. Рассмотрим некоторые из этих методов.

**Метод Юнга.** Источником света служит ярко освещенная щель  $S$  (рис. 6), от которой световая волна падает на две узкие равноудаленные щели  $S_1$  и  $S_2$ , параллельные щели  $S$ . Таким образом, щели  $S_1$  и  $S_2$  играют роль когерентных источников.

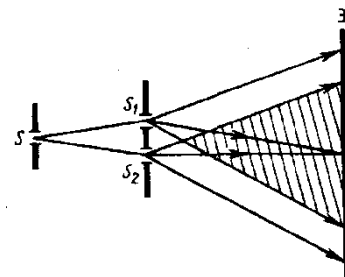


Рис. 6

Интерференционная картина (область  $BC$ ) наблюдается на экране ( $\mathcal{E}$ ), расположенном на некотором расстоянии параллельно  $S_1$  и  $S_2$ .

**Зеркала Френеля.** Свет от источника  $S$  (рис. 7) падает расходящимся пучком на два плоских зеркала  $A_1O$  и  $A_2O$ , расположенных относительно друг друга под углом, лишь немного отличающимся от  $180^\circ$  (угол  $\varphi$  мал). Используя правила построения изображения в плоских зеркалах, можно показать, что и источник, и его изображения  $S_1$  и  $S_2$  (угловое расстояние между которыми равно  $2\varphi$ ) лежат на одной и той же окружности радиуса  $r$  с центром в  $O$  (точка соприкосновения зеркал).

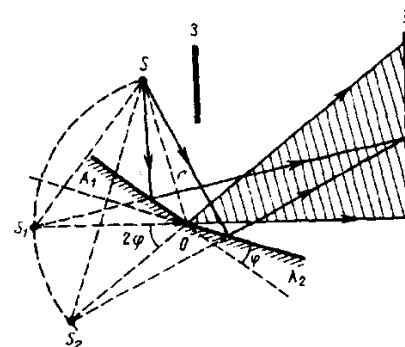


Рис. 7

Световые пучки, отразившиеся от обоих зеркал, можно считать выходящими из мнимых источников  $S_1$  и  $S_2$ , являющихся мнимыми изображениями  $S$  в зеркалах. Мнимые источники  $S_1$  и  $S_2$  взаимно когерентны, и исходящие из них световые пучки, встречаясь друг с другом, интерферируют в

области взаимного перекрывания (на рис. 7 она заштрихована). Можно показать, что максимальный угол расхождения перекрывающихся пучков не может быть больше  $2\varphi$ . Интерференционная картина наблюдается на экране (Э), защищенном от прямого попадания света заслонкой (З).

**Бипризма Френеля.** Она состоит из двух одинаковых, сложенных основаниями призм с малыми преломляющими углами. Свет от источника  $S$  (рис. 8) преломляется в обеих призмах, в результате чего за бипризмой распространяются световые лучи, как бы исходящие из мнимых источников  $S_1$  и  $S_2$ , являющихся когерентными. Таким образом, на поверхности экрана (в заштрихованной области) происходит наложение когерентных пучков и наблюдается интерференция.

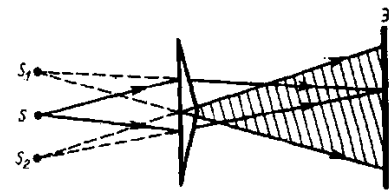


Рис. 8

### 7. Расчет интерференционной картины от двух источников.

Расчет интерференционной картины для рассмотренных выше методов наблюдения интерференции света можно провести, используя две узкие параллельные щели, расположенные достаточно близко друг к другу (рис. 9). Щели  $S_1$  и  $S_2$  находятся на расстоянии  $d$  друг от друга и являются когерентными (реальными или мнимыми изображениями источника  $S$  в какой-то оптической системе) источниками света. Интерференция наблюдается в произвольной точке  $A$  экрана, параллельного обеим щелям и расположенного от них на расстоянии  $l$ , причем  $l \gg d$ . Начало отсчета выбрано в точке  $O$ , симметричной относительно щелей.

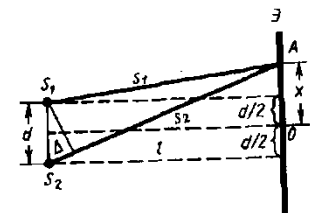


Рис. 9

Интенсивность в любой точке  $A$  экрана, лежащей на расстоянии  $x$  от  $O$ , определяется оптической разностью хода  $\Delta = s_2 - s_1$ . Из рис. 9 имеем

$$s_2^2 = l^2 + \left(x + \frac{d}{2}\right)^2, \quad s_1^2 = l^2 + \left(x - \frac{d}{2}\right)^2,$$

откуда  $s_2^2 - s_1^2 = 2xd$ , или

$$\Delta = s_2 - s_1 = \frac{2xd}{s_1 + s_2}$$

Из условия  $l \gg d$  следует, что  $s_1 + s_2 \approx 2l$ , поэтому

$$\Delta = \frac{xd}{l} \tag{13}$$

Подставив найденное значение  $\Delta$  (13) в условия (11) и (12), получим, что максимумы интенсивности будут наблюдаться в случае, если

$$x_{\max} = \pm m \frac{l}{d} \lambda_0 \quad m = 0, 1, 2, \dots \tag{14}$$

а минимумы — в случае, если

$$x_{\min} = \pm (2m + 1) \frac{l}{d} \frac{\lambda_0}{2} \quad m = 0, 1, 2, \dots \tag{15}$$

Расстояние между двумя соседними максимумами (или минимумами), называемое **шириной интерференционной полосы**, равно

$$\Delta = \frac{l}{d} \lambda_0 \quad (16)$$

$\Delta x$  не зависит от порядка интерференции (величины  $m$ ) и является постоянной для данных  $l$ ,  $d$  и  $\lambda_0$ .

Согласно формуле (16),  $\Delta x$  обратно пропорционально  $d$ ; следовательно, при большом расстоянии между источниками, например при  $d \approx l$ , отдельные полосы становятся неразличимыми. Для видимого света  $\lambda_0 \approx 10^{-7}$  м, поэтому четкая, доступная для визуального наблюдения интерференционная картина имеет место при  $l \gg d$  (это условие и принималось при расчете).

По измеренным значениям  $l$ ,  $d$  и  $\Delta x$ , используя (16), можно экспериментально определить длину волны света.

Из выражений (14) и (15) следует, таким образом, что интерференционная картина, создаваемая на экране двумя когерентными источниками света, представляет собой чередование светлых и темных полос, параллельных друг другу.

Главный максимум, соответствующий  $m=0$ , проходит через точку  $O$ . Вверх и вниз от него на равных расстояниях друг от друга располагаются максимумы (минимумы) первого ( $m=1$ ), второго ( $m=2$ ) порядков и т.д.

Описанная картина, однако, справедлива лишь при освещении монохроматическим светом ( $\lambda_0 = \text{const}$ ).

Если использовать белый свет, представляющий собой непрерывный набор длин волн от 0,39 мкм (фиолетовая граница спектра) до 0,75 мкм (красная граница спектра), то интерференционные максимумы для каждой длины волны будут, согласно формуле (16), смещены друг относительно друга и иметь вид радужных полос.

Только для  $m=0$  максимумы всех длин волн совпадают, и в середине экрана будет наблюдаться белая полоса, по обе стороны которой симметрично расположатся спектрально окрашенные полосы максимумов первого, второго порядков и т. д. (ближе к белой полосе будут находиться зоны фиолетового цвета, дальше — зоны красного цвета).

## 8. Интерференция света в тонких пленках.

В природе часто можно наблюдать радужное окрашивание тонких пленок (масляные пленки на воде, мыльные пузыри, оксидные пленки на металлах), возникающее в результате интерференции света, отраженного двумя поверхностями пленки.

Пусть на плоскопараллельную прозрачную пленку с показателем преломления  $n$  и толщиной  $d$  под углом  $i$  (рис. 10) падает плоская монохроматическая волна (для простоты рассмотрим один луч).

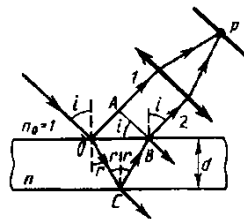


Рис. 10

На поверхности пленки в точке  $O$  луч разделится на два: частично отразится от верхней поверхности пленки, а частично преломится.

Преломленный луч, дойдя до точки  $C$ , частично преломится в воздух ( $n_0=1$ ), а частично отразится и пойдет к точке  $B$ .

Здесь он опять частично отразится (этот ход луча в дальнейшем из-за малой интенсивности не рассматриваем) и преломится, выходя в воздух под углом  $i$ .

Вышедшие из пленки лучи  $1$  и  $2$  когерентны, если оптическая разность их хода мала по сравнению с длиной когерентности падающей волны.

Если на их пути поставить собирающую линзу, то они сойдутся в одной из точек  $P$  фокальной плоскости линзы.

В результате возникает интерференционная картина, которая определяется оптической разностью хода между интерферирующими лучами.

Оптическая разность хода, возникающая между двумя интерферирующими лучами от точки  $O$  до плоскости  $AB$ ,

$$\Delta = n(OC - CB) - (OA \pm \frac{\lambda_0}{2})$$

где показатель преломления окружающей пленку среды принят равным  $1$ ,

а член  $\pm \lambda_0/2$  обусловлен потерей полуволны при отражении света от границы раздела.

Если  $n > n_0$ , то потеря полуволны произойдет в точке  $O$  и вышеупомянутый член будет иметь знак минус; если же  $n < n_0$ , то потеря полуволны произойдет в точке  $C$  и  $\lambda_0/2$  будет иметь знак плюс.

Согласно рис. 249,  $OC = CB = \frac{d}{\cos r}$ ,  $OA = OB \sin(i) = 2d \cdot \operatorname{tg}(r) \sin(i)$ .

Учитывая для данного случая закон преломления  $\sin i = n \sin r$ , получим

$$\Delta = 2dn \cos r = 2dn \sqrt{1 - \sin^2 r} = 2d \sqrt{n^2 - \sin^2 i}$$

С учетом потери полуволны для оптической разности хода получим

$$\Delta = 2d \sqrt{n^2 - \sin^2 i} \pm \frac{\lambda_0}{2} \quad (17)$$

Для случая, изображенного на рис. 10 ( $n > n_0$ ),

$$\Delta = 2d \sqrt{n^2 - \sin^2 i} + \frac{\lambda_0}{2}$$

В точке  $P$  будет интерференционный максимум, если

$$2d \sqrt{n^2 - \sin^2 i} + \frac{\lambda_0}{2} = m \lambda_0 \quad m = 0, 1, 2, \dots \quad (18)$$

и минимум, если

$$2d \sqrt{n^2 - \sin^2 i} + \frac{\lambda_0}{2} = (2m + 1) \frac{\lambda_0}{2} \quad m = 0, 1, 2, \dots \quad (19)$$

Интерференция, как известно, наблюдается, только если удвоенная толщина пластинки меньше длины когерентности падающей волны.

### Полосы равного наклона (интерференция от плоскопараллельной пластинки).

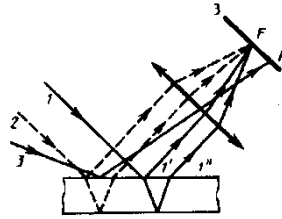


Рис. 11

Из выражений (18) и (19) следует, что интерференционная картина в плоскопараллельных пластинках (пленках) определяется величинами  $\lambda_0$ ,  $d$ , и  $\mu_i$ . Для данных  $\lambda_0$ ,  $d$ , и каждому наклону  $i$  лучей соответствует своя интерференционная полоса. Интерференционные полосы, возникающие в результате наложения лучей, падающих на плоскопараллельную пластинку под одинаковыми углами, называются **полосами равного наклона**.

Лучи  $1'$  и  $1''$ , отразившиеся от верхней и нижней граней пластинки (рис. 11), параллельны друг другу, так как пластинка плоскопараллельна.

Следовательно, интерферирующие лучи  $1'$  и  $1''$  «пересекаются» только в бесконечности, поэтому говорят, что *полосы равного наклона локализованы в бесконечности*.

Для их наблюдения используют собирающую линзу и экран (Э), расположенный в фокальной плоскости линзы.

Параллельные лучи  $1'$  и  $1''$  соберутся в фокусе  $F$  линзы (на рис. 11 ее оптическая ось параллельна лучам  $1'$  и  $1''$ ), в эту же точку придут и другие лучи (на рис. 11 – луч 2), параллельные лучу 1, в результате чего увеличивается общая интенсивность. Лучи 3, наклоненные под другим углом, соберутся в другой точке  $P$  фокальной плоскости линзы.

Легко показать, что если оптическая ось линзы перпендикулярна поверхности пластинки, то полосы равного наклона будут иметь вид концентрических колец с центром в фокусе линзы.

### Полосы равной толщины (интерференция от пластинки переменной толщины).

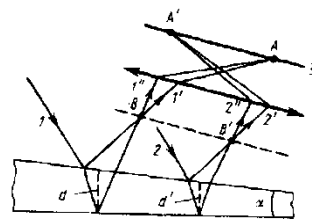


Рис. 12

Пусть на клин (угол  $\alpha$  между боковыми гранями мал) падает плоская волна, направление распространения которой совпадает с параллельными лучами 1 и 2 (рис. 12). Из всех лучей, на которые разделяется падающий луч 1, рассмотрим лучи  $1'$  и  $1''$ , отразившиеся от верхней и нижней поверхностей клина.

При определенном взаимном положении клина и линзы лучи  $1'$  и  $1''$  пересекутся в некоторой точке  $A$ , являющейся изображением точки  $B$ . Так как лучи  $1'$  и  $1''$  когерентны, они будут интерферировать.

Если источник расположен довольно далеко от поверхности клина и угол  $\alpha$  ничтожно мал, то оптическая разность хода между интерферирующими лучами  $1'$  и  $1''$  может быть с достаточной степенью точности вычислена по формуле (17), где  $d$  — толщина клина в месте падения на него луча.



Лучи  $2'$  и  $2''$ , образовавшиеся при делении луча  $2$ , падающего в другую точку клина, собираются линзой в точке  $A'$ .

Оптическая разность хода уже определяется толщиной  $d'$ . Таким образом, на экране возникает система интерференционных полос.

Каждая из полос возникает при отражении от мест пластинки, имеющих одинаковую толщину (в общем случае толщина пластинки может изменяться произвольно). Интерференционные полосы, возникающие в результате интерференции от мест одинаковой толщины, называются **полосами равной толщины**.

Так как верхняя и нижняя грани клина не параллельны между собой, то лучи  $1'$  и  $1''$  ( $2'$  и  $2''$ ) пересекаются вблизи пластинки, в изображенном на рис. 12 случае — над ней (при другой конфигурации клина они могут пересекаться и под пластинкой). Таким образом, *полосы равной толщины локализованы вблизи поверхности клина*. Если свет падает на пластинку нормально, то полосы равной толщины локализуются на верхней поверхности клина.

### Кольца Ньютона.

Кольца Ньютона, являющиеся классическим примером полос равной толщины, наблюдаются при отражении света от воздушного зазора, образованного плоскопараллельной пластинкой и соприкасающейся с ней плосковыпуклой линзой с большим радиусом кривизны (рис. 13). Параллельный пучок света падает нормально на плоскую поверхность линзы и частично отражается от верхней и нижней поверхностей воздушного зазора между линзой и пластинкой. При наложении отраженных лучей возникают полосы равной толщины, при нормальном падении света имеющие вид концентрических окружностей.

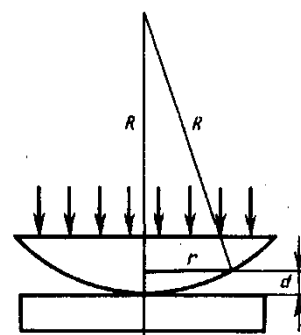


Рис. 13

В отраженном свете оптическая разность хода (с учетом потери полуволны при отражении), согласно (17), при условии, что показатель преломления воздуха  $n=1$ , а  $i=0$ ,

$$\Delta = 2d + \frac{\lambda_0}{2}$$

где  $d$  — ширина зазора.

Из рис. 13 следует, что

$$R^2 = (R - d)^2 + r^2$$

где  $R$  — радиус кривизны линзы,  
 $r$  — радиус кривизны окружности, всем точкам которой соответствует одинаковый зазор  $d$ .

Учитывая, что  $d$  мало, получим  $d = \frac{r^2}{2R}$ .

Следовательно,

$$\Delta = \frac{r^2}{2R} + \frac{\lambda_0}{2} \quad (20)$$

Приравняв (20) к условиям максимума (11) и минимума (12), получим выражения для радиусов  $m$ -го светлого кольца и  $m$ -го темного кольца соответственно

$$r_{m \text{ светл}} = \sqrt{(2m-1) \frac{\lambda_0 R}{2}} \quad m = 1, 2, 3, \dots$$

$$r_{m \text{ темн}} = \sqrt{m \lambda_0 R} \quad m = 0, 1, 2, \dots$$

Измеряя радиусы соответствующих колец, можно (зная радиус кривизны линзы  $R$ ) определить  $\lambda_0$  и, наоборот, по известной  $\lambda_0$  найти радиус кривизны  $R$  линзы.

Как для полос равного наклона, так и для полос равной толщины положение максимумов зависит от длины волны  $\lambda_0$  (см. (18)). Поэтому система светлых и темных полос получается только при освещении монохроматическим светом. При наблюдении в белом свете получается совокупность смещенных друг относительно друга полос, образованных лучами разных длин волн, и интерференционная картина приобретает радужную окраску. *Все рассуждения были проведены для отраженного света.* Интерференцию можно наблюдать и в проходящем свете, причем в данном случае не наблюдается потери полуволны. Следовательно, оптическая разность хода для проходящего и отраженного света отличается на  $\lambda_0/2$ , т.е. максимумам интерференции в отраженном свете соответствуют минимумы в проходящем, и наоборот.

## 9. Применение интерференции света.

Явление интерференции обусловлено волновой природой света; его количественные закономерности зависят от длины волны  $\lambda_0$ . Поэтому это явление применяется для подтверждения волновой природы света и для измерения длин волн (**интерференционная спектроскопия**).

Явление интерференции применяется также для улучшения качества оптических приборов (**просветление оптики**) и получения высокоотражающих покрытий. Прохождение света через каждую преломляющую поверхность линзы, например через границу стекло–воздух, сопровождается отражением  $\approx 4\%$  падающего потока (при показателе преломления стекла  $\approx 1,5$ ). Так как современные объективы содержат большое количество линз, то число отражений в них велико, а поэтому велики и потери светового потока. Таким образом, интенсивность прошедшего света ослабляется и светосила оптического прибора уменьшается. Кроме того, отражения от поверхностей линз приводят к возникновению бликов, что часто (например, в военной технике) демаскирует положение прибора.

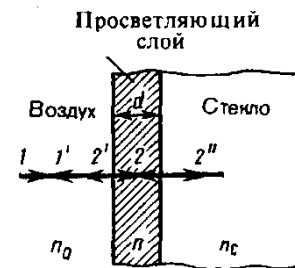


Рис. 14

Для устранения указанных недостатков осуществляют так называемое *просветление оптики*. Для этого на свободные поверхности линз наносят тонкие пленки с показателем преломления, меньшим, чем у материала линзы. При отражении света от границ раздела воздух–пленка и пленка–стекло возникает интерференция когерентных лучей  $1'$  и  $2'$  (рис. 14). Толщину пленки  $d$  и показатели преломления стекла  $n_c$  и пленки  $n$  можно подобрать так, чтобы волны, отраженные от обеих поверхностей пленки, гасили друг друга. Для этого их амплитуды должны быть равны, а оптическая разность хода равна  $(2m+1) \frac{\lambda_0}{2}$ .

Расчет показывает, что амплитуды отраженных лучей равны, если

$$n = \sqrt{n_c} \quad (21)$$

Так как  $n_c$ ,  $n$  и показатель преломления воздуха  $n_0$  удовлетворяют условиям  $n_c > n > n_0$ , то потеря полуволны происходит на обеих поверхностях; следовательно, условие минимума (предполагаем, что свет падает нормально, т. е.  $i=0$ )

$$2nd = (2m + 1) \frac{\lambda_0}{2}$$

где  $nd$  — **оптическая толщина пленки**.

Обычно принимают  $m=0$ , тогда

$$nd = \frac{\lambda_0}{4}$$

Таким образом, если выполняется условие (21) и оптическая толщина пленки равна  $\lambda_0/4$ , то в результате интерференции наблюдается гашение отраженных лучей. Так как добиться одновременного гашения для всех длин волны невозможно, то это обычно делается для наиболее восприимчивой глазом длины волны  $\lambda_0 \approx 0,55$  мкм. Поэтому объективы с просветленной оптикой имеют синевато-красный оттенок.

Создание высокоотражающих покрытий стало возможным лишь на основе **многолучевой интерференции**. В отличие от двухлучевой интерференции, которую мы рассматривали до сих пор, многолучевая интерференция возникает при наложении большого числа когерентных световых пучков. Распределение интенсивности в интерференционной картине существенно различается; интерференционные максимумы значительно уже и ярче, чем при наложении двух когерентных световых пучков. Так, результирующая амплитуда световых колебаний одинаковой амплитуды в максимумах интенсивности, где сложение происходит в одинаковой фазе, в  $N$  раз больше, а интенсивность в  $N^2$  раз больше, чем от одного пучка ( $N$  — число интерферирующих пучков). Отметим, что для нахождения результирующей амплитуды удобно пользоваться графическим методом, используя метод вращающегося вектора амплитуды. Многолучевая интерференция осуществляется в дифракционной решетке.

Многолучевую интерференцию можно осуществить в многослойной системе чередующихся пленок с разными показателями преломления (но одинаковой оптической толщиной, равной  $\lambda_0/4$ ), нанесенных на отражающую поверхность (рис. 15). Можно показать, что на границе раздела пленок (между двумя слоями ZnS с большим показателем преломления  $n_1$  находится пленка криолита с меньшим показателем преломления  $n_2$ ) возникает большое число отраженных интерферирующих лучей, которые при оптической толщине пленок  $\lambda_0/4$  будут взаимно усиливаться, т. е. коэффициент отражения возрастает. Характерной особенностью такой высокоотражательной системы является то, что она действует в очень узкой спектральной области, причем чем больше коэффициент отражения, тем уже эта область. Например, система из семи пленок для области 0,5 мкм дает коэффициент отражения  $\rho \approx 96\%$  (при коэффициенте пропускания  $\approx 3,5\%$  и коэффициенте поглощения  $< 0,5\%$ ). Подобные отражатели применяются в лазерной технике, а также используются для создания интерференционных светофильтров (узкополосных оптических фильтров).

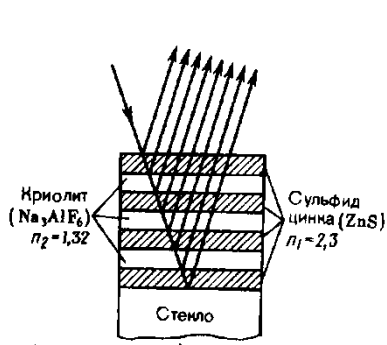


Рис. 15

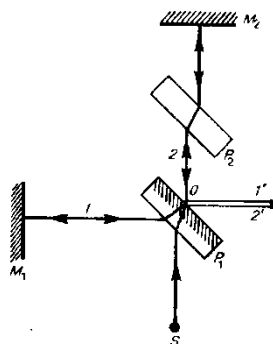


Рис. 16

Явление интерференции также применяется в очень точных измерительных приборах, называемых интерферометрами. Все интерферометры основаны на одном и том же принципе и различаются лишь конструкционно.

На рис. 16 представлена упрощенная схема **интерферометра Майкельсона**. Монохроматический свет от источника  $S$  падает под углом  $45^\circ$  на плоскопараллельную пластинку  $P_1$ . Сторона пластинки, удаленная от  $S$ , посеребренная и полупрозрачная, разделяет луч на две части: луч  $1$  (отражается от посеребренного слоя) в луч  $2$  (проходит через него). Луч  $1$  отражается от зеркала  $M_1$  и, возвращаясь обратно, вновь проходит через пластинку  $P_1$  (луч  $1'$ ). Луч  $2$  идет к зеркалу  $M_2$ , отражается от него, возвращается обратно и отражается от пластинки  $P_1$  (луч  $2'$ ). Так как первый из лучей проходит сквозь пластинку  $P_1$  дважды, то для компенсации возникающей разности хода на пути второго луча ставится пластинка  $P_2$  (точно такая же, как и  $P_1$ , только не покрытая слоем серебра).

Лучи  $1'$  и  $2'$  когерентны; следовательно, будет наблюдаться интерференция, результат которой зависит от оптической разности хода луча  $1$  от точки  $O$  до зеркала  $M_1$  и луча  $2$  от точки  $O$  до зеркала  $M_2$ . При перемещении одного из зеркал на расстояние  $\lambda_0/4$  разность хода обоих лучей увеличится на  $\lambda_0/2$  и произойдет смена освещенности зрительного поля. Следовательно, по незначительному смещению интерференционной картины можно судить о малом перемещении одного из зеркал и использовать интерферометр Майкельсона для точного (порядка  $10^{-7}$  м) измерения длин (измерения длины тел, длины волны света, изменения длины тела при изменении температуры (интерференционный дилатометр)).

Российский физик В. П. Линник (1889—1984) использовал принцип действия интерферометра Майкельсона для создания **микронтерферометра** (комбинация интерферометра и микроскопа), служащего для контроля чистоты обработки поверхности.

Интерферометры — очень чувствительные оптические приборы, позволяющие определять незначительные изменения показателя преломления прозрачных тел (газов, жидких и твердых тел) в зависимости от давления, температуры, примесей и т. д. Такие интерферометры получили название **интерференционных рефрактометров**. На пути интерферирующих лучей располагаются две одинаковые кюветы длиной  $l$ , одна из которых заполнена, например, газом с известным ( $n_0$ ), а другая — с неизвестным ( $n_x$ ) показателями преломления. Возникшая между интерферирующими лучами дополнительная оптическая разность хода  $\Delta = (n_x - n_0)l$ . Изменение разности хода приведет к сдвигу интерференционных полос. Этот сдвиг можно характеризовать величиной

$$m_0 = \frac{\Delta}{\lambda} = (n_x - n_0) \frac{l}{\lambda}$$

где  $m_0$  показывает, на какую часть ширины интерференционной полосы сместилась интерференционная картина. Измеряя величину  $m_0$  при известных  $l$ ,  $n_0$  и  $\lambda$ , можно вычислять  $n_x$  или изменение  $n_x - n_0$ . Например, при смещении интерференционной картины на  $1/5$  полосы при  $l = 10$  см и  $\lambda = 0,5$  мкм  $n_x - n_0 = 10^{-6}$ , т.е. интерференционные рефрактометры позволяют измерять изменение показателя преломления с очень высокой точностью (до  $1/1\,000\,000$ ).

Применение интерферометров очень многообразно. Кроме перечисленного, они применяются для изучения качества изготовления оптических деталей, измерения углов, исследования быстропротекающих процессов, происходящих в воздухе, обтекающем летательные аппараты, и т. д. Применяя интерферометр, Майкельсон впервые провел сравнение международного эталона метра с длиной стандартной световой волны. С помощью интерферометров исследовалось также распространение света в движущихся телах, что привело к фундаментальным изменениям представлений о пространстве и времени.